



ارزیابی حساسیت آب‌های زیرزمینی به آلودگی در دشت خاتون‌آباد با استفاده از سامانه اطلاعات جغرافیایی

رضا درفشنانی^{*} و محمود علیپور^{*}

(۱) گروه زمین‌شناسی دانشگاه شهید باهنر کرمان، reza_1217@yahoo.com

(۲) شرکت ملی صنایع مس ایران، Alipour2000@gmail.com

^{*}) عهدهدار مکاتبات

چکیده

دشت خاتون‌آباد در استان کرمان در جنوب شرقی کشور ایران واقع شده است. با توجه به شرایط آب و هوایی منطقه، هیچ‌گونه رودخانه‌ی دائمی در منطقه وجود ندارد و همچون سایر نقاط استان کرمان کاملاً به آب‌های زیرزمینی وابسته می‌باشد. بدلیل وجود کارخانه‌ی ذوب مس خاتون‌آباد و همچنین کارخانه‌ی مولیبدن در این دشت و اهمیت آبخوان مذبور در تأمین آب مورد نیاز صنعت، کشاورزی و شرب، در این بررسی با استفاده از مدل دراستیک (DRASTIC)، میزان آسیب‌پذیری آبخوان دشت خاتون‌آباد به آلودگی مورد بررسی قرار گرفته است. بدین‌منظور سامانه اطلاعات جغرافیایی (GIS) جهت تهیه نقشه‌ی آسیب‌پذیری آبخوان خاتون‌آباد مورد استفاده قرار گرفت. براساس نتایج ۸/۵۴ درصد از منطقه دارای آسیب‌پذیری بالا ۶۳/۵۵ درصد آسیب‌پذیری متوسط و ۲۷/۹۱ درصد از منطقه دارای آسیب‌پذیری کم می‌باشد. منطقه با آسیب‌پذیری بالا در بالادست جریان آب‌های زیرزمینی منطقه قرار دارد و در صورت ورود آلودگی به این بخش از آبخوان، احتمال پخش آن در کل آبخوان وجود خواهد داشت. با توجه به این که صنایع واقع در منطقه (ذوب مس خاتون‌آباد و کارخانه مولیبدن)، در بخش با آسیب‌پذیری بالا قرار گرفته‌اند، پایش آب زیرزمینی و همچنین خاک منطقه از اهمیت بالایی برخوردار می‌باشد. براساس آنالیز حساسیت، آسیب‌پذیری منطقه بیشترین حساسیت را نسبت به لایه‌ی غیر اشباع (I) دارد، بعد از آن نسبت به لایه‌ی تغذیه‌ی کل (R) بیشترین حساسیت را دارا می‌باشد. همچنین کمترین حساسیت مربوط به جنس لایه‌ی خاک می‌باشد.

واژه‌های کلیدی: آنالیز حساسیت، دراستیک، رودخانه، آبخوان، کرمان

۱- مقدمه

مد نظر بوده و در محاسبه‌ی آن از خصوصیات ذاتی زمین‌شناسی، خصوصیات هیدرولوژیکی و هیدرولوژیکی منطقه، جدای از طبیعت آلودگی استفاده می‌شود. در آسیب‌پذیری ویژه، آسیب‌پذیری آب‌های زیرزمینی نسبت به یک آلودگی خاص و یا گروهی از آلاینده‌ها مورد ارزیابی قرار گرفته و در محاسبه‌ی آن خصوصیات آلاینده و ارتباط آن با اجزای مختلف آسیب‌پذیری ذاتی مد نظر می‌باشند (Babiker et al. 2005).

آسیب‌پذیری با خطر آلودگی فرق دارد. خطر آلودگی علاوه بر آسیب‌پذیری به وجود مقادیر قابل توجه‌ای از آلاینده‌ها که به زیرزمین منتقل می‌شوند، نیز بستگی دارد. مطالعه‌ی آسیب‌پذیری آب‌های زیرزمینی جهت ارزیابی فعالیت‌های کاربری اراضی و ارزیابی اثرات

آب‌های زیرزمینی در مناطق خشک که دسترسی به آب‌های سطحی محدود می‌باشد، اهمیت بسیار دارد (Todd 1980). جهت طراحی آمایش زمین (کاربری اراضی) و مدیریت منابع آب حساس به آلودگی، استفاده از ارزیابی آسیب‌پذیری جهت مشخص نمودن مناطقی که نسبت به آلودگی از استعداد بیشتری برخوردار می‌باشند، به یک ابزار مهم تبدیل شده است (Babiker et al. 2005).

آسیب‌پذیری آب‌های زیرزمینی را می‌توان به دو گروه آسیب‌پذیری ذاتی (Intrinsic Vulnerability) و آسیب‌پذیری ویژه (Specific Vulnerability) تقسیم‌بندی کرد. در آسیب‌پذیری ذاتی، آسیب‌پذیری آب‌های زیرزمینی به آلودگی‌های ایجاد شده توسعه فعالیت‌های بشری

- جنس لایه‌خاک (S=Soil Media): به بالاترین بخش منطقه غیر اشبع اشاره داشته که توسط فعالیت‌های بیولوژیکی مشخص می‌شود. خصوصیات لایه‌خاک حرکت سطحی و رو به پایین آلینده‌ها را متأثر می‌کند.
- توپوگرافی (T=Topography): به تغییرات شیب سطح زمین اشاره دارد. این پارامتر مانندگاری آلینده را بر روی سطح زمین و امکان نفوذ آن را در منطقه تحت تأثیر قرار می‌دهد.
- تأثیر بخش غیراشبع (I=Impact of vadoze zone): این بخش مواد موجود بین لایه‌خاک و سطح آب‌های زیرزمینی را شامل می‌شود. در این بخش حفرات و درز و شکاف به صورت غیر اشبع بوده و تأثیر آن مانند لایه‌خاک می‌باشد.
- ضریب هدایت هیدرولیکی (C=Hydraulic Conductivity): نشان‌دهنده توانایی آبخوان در عبور آب و در نتیجه جريان آلینده‌ها می‌باشد.

۴- بحث

دشت خاتون‌آباد بین طول‌های جغرافیائی 30° ، 35° و 40° عرض‌های جغرافیائی 55° ، 50° ، 45° ، 40° و 35° قرار گرفته است. این محدوده از شمال و جنوب توسط ارتفاعات محدود می‌شود. ارتفاعات شمالی و شرقی در بالاترین نقطه نسبت به دشت 1200 متر اختلاف ارتفاع دارند. اختلاف ارتفاع بین دشت و ارتفاعات جنوبی زیاد نبوده، در حدود 150 متر می‌باشد. سطح کل محدوده مورد مطالعه 317 کیلومتر مربع می‌باشد. براساس مطالعات انجام شده، آبخوان دشت خاتون‌آباد از نوع آزاد بوده و عمق آب‌های زیرزمینی بین 5 تا 50 متر متغیر می‌باشد. تصویر 1 موقعیت دشت خاتون‌آباد را در ایران نشان می‌دهد.

با توجه به کیفیت مناسب آب آبخوان خاتون‌آباد، علاوه بر تأمین آب مورد نیاز کشاورزی در منطقه، آب مورد نیاز کارخانجات ذوب مس سرچشمه و خاتون‌آباد و آب آشامیدنی منطقه را نیز تأمین می‌کند. متوسط بارندگی در دشت خاتون‌آباد 150 میلیمتر گزارش شده است. تخلیه از آبخوان توسط چاههای عمیق و نیمه عمیق صورت می‌گیرد. متوسط سالیانه تخلیه از آبخوان دشت خاتون‌آباد در حدود 67 میلیون متر مکعب می‌باشد.

برای اولین بار روش دراستیک توسط آژانس حفاظت محیط زیست ایالات متحده آمریکا توسعه داده شده است. در این روش با ترکیب 7 پارامتر گفته شده، نقشه‌ی آسیب‌پذیری آبخوان تهیه می‌شود.

اقتصادی دفع مواد زائد در مناطق آسیب‌پذیر مفید می‌باشد. علاوه براین، آن اطلاعات اوئیه و معیارهای تصمیم‌گیری را در مواردی مانند تخصیص کنترل‌های کاربری اراضی، طرح شبکه‌ی پایش و مدیریت منابع آب در زمینه‌ی طراحی منطقه‌ای فراهم می‌آورد. در حال حاضر، استفاده از نقشه‌های آسیب‌پذیری جهت مدیریت زیست‌محیطی منابع آب زیرزمینی، به یک ابزار مفید و محبوب در دنیا تبدیل شده است (Connell & Van den Daele 2003). مفهوم آسیب‌پذیری آب‌های زیرزمینی بر اساس این فرض که محیط فیزیکی ممکن است آب‌های زیرزمینی را در برابر برخی از اثرات نامطلوب طبیعی مخصوصاً در مواردی که آلودگی وارد سطح زیرزمینی می‌شود، حفاظت کنند، بنا شده است (El-Naqa et al. 2006). در حال حاضر استفاده از روش دراستیک جهت تهیه این نقشه‌ها رو به فرونش می‌باشد. روش دراستیک بر 4 فرض زیر استوار است:

- آلودگی از سطح زمین وارد می‌شود.
 - آلودگی در نتیجه‌ی بارندگی به سمت آب‌های زیرزمینی رانده می‌شود.
 - قابلیت تحرک آلودگی با آب یکسان است.
 - منطقه‌ی مورد مطالعه $40/0$ کیلومتر مربع و یا بیشتر می‌باشد.
- استفاده از روش دراستیک بسیار گسترده بوده و در بخش‌هایی از ایالات متحده آمریکا (Plymale & Angle 2002)، در چین (Shahid & Hazarika 2008)، بنگلادش (Kabera & Zhaohui 2008)، آفریقای جنوبی (Lynch et al. 1997)، در مصر (El-Naqa 2007) و نیگارا (Johansson et al. 1999) et al. 2006) مورد استفاده قرار گرفته است.

روش دراستیک بر پایه‌ی 7 پارامتر که جهت محاسبه‌ی ایندکس دراستیک باید به عنوان ورودی به مدل داده شوند، بنا شده است (Aller et al. 1987). پارامترهای مورد استفاده در مدل دراستیک را می‌توان به صورت زیر تعریف نمود:

- عمق آب زیرزمینی (D=Depth): عبارت است از فاصله‌ی بین سطح زمین و سطح آب‌های زیرزمینی، هر چه عمق آب‌های زیرزمینی بیشتر باشد شناس رساندن آلینده‌ها به آن کمتر خواهد شد.
- تغذیه‌ی کل (R=Recharge): نشان‌دهنده مقدار آبی است که به داخل زمین نفوذ کرده و به سطح آب‌های زیرزمینی می‌رسد. تغذیه، امکان رساندن آلینده‌ها را به سطح آب‌های زیرزمینی مهیا می‌کند.

• جنس آبخوان (A=Aquifer Media): به جنس بخش اشباع آبخوان اشاره داشته که میرایی آلینده‌ها را کنترل می‌کند.

۷- تهیه نقشه‌ی آسیب‌پذیری

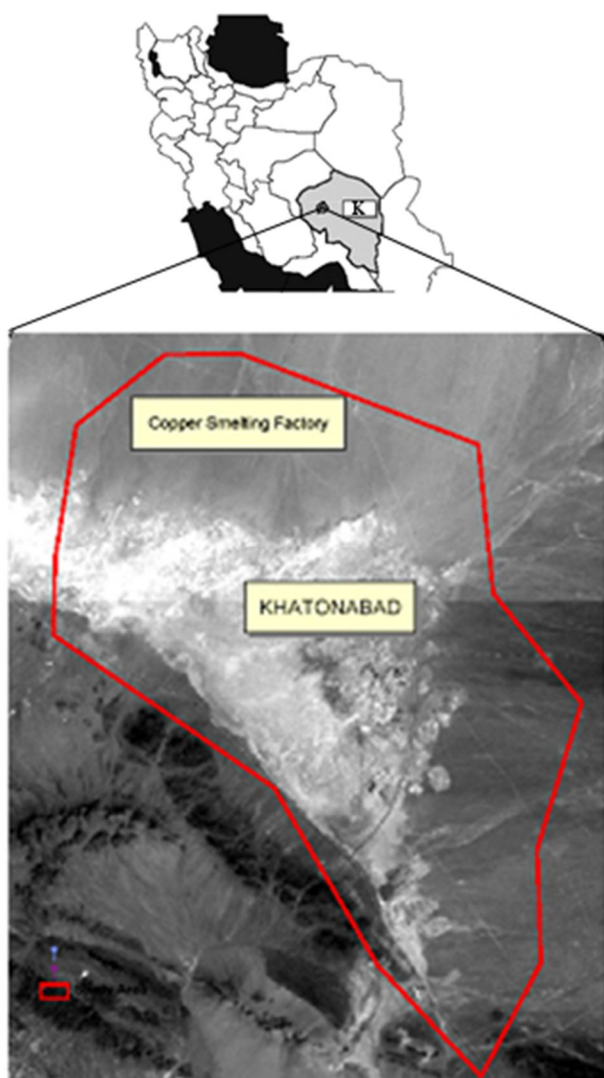
در این تحقیق وزن‌دهی و رتبه‌بندی پارامترهای ۷ گانه با توجه به جدول ۱ انجام شده است. در ادامه‌ی توضیحات لازم در ارتباط با رتبه‌بندی و همچنین تهیه نقشه‌های امتیاز مربوط به هر پارامتر آورده شده است.

۱-۲- عمق آبخوان (D)

در این تحقیق عمق سطح آب زیرزمینی با استفاده از اطلاعات مربوط به مختصات سر گمانه‌ها و همچنین مختصات سطح آب زیرزمینی در آن‌ها محاسبه گردید. تصویر ۲ پراکندگی گمانه‌های مورد استفاده را در محدوده مورد مطالعه نشان می‌دهد. بعد از محاسبه‌ی عمق آب در بخش‌های مختلف آبخوان، با توجه به جدول ۱ بخش‌های مختلف آن رده‌بندی و سپس رتبه‌بندی گردید. سپس با استفاده از نرم افزار آرک ویو (Arc View) نقشه‌ی امتیاز عمق (Factor Score Map) (Figure 3)، تهیه گردید (تصویر ۳).

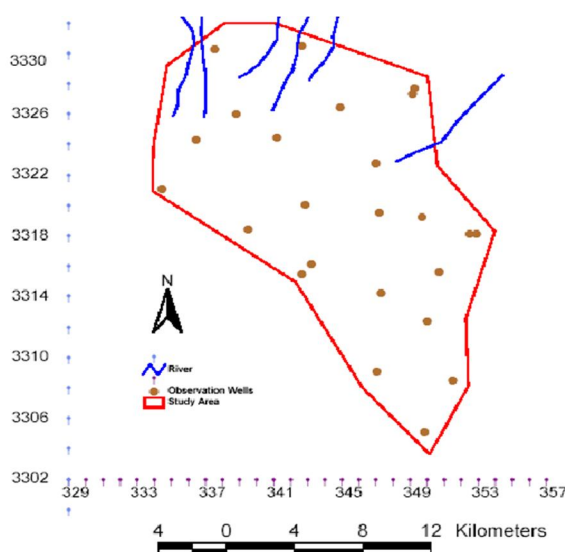
۲-۲- تغذیه کل (R)

جهت محاسبه میزان تغذیه در محدوده مورد مطالعه، علاوه بر استفاده از داده‌های مدل آب‌های زیرزمینی از داده‌های مربوط به بارندگی و همچنین محاسبه بیلان نیز استفاده شده است. براساس آمار موجود، متوسط بارندگی در محدوده مورد مطالعه ۱۵۰ میلی‌متر می‌باشد. مطالعات انجام شده میزان تغذیه‌ی ناشی از بارندگی را در حدود ۱۰ درصد بارندگی در نظر گرفته‌اند. همچنین در این مطالعه میزان تغذیه‌ی ناشی از سیلاب‌ها نیز محاسبه گردید. با توجه به محاسبات بیلان آب‌های سطحی، در حدود ۱۰ درصد از روان‌آب‌های سطحی به سطح آب‌های زیرزمینی راه پیدا می‌کنند. در منطقه مورد مطالعه



تصویر ۱- موقعیت جغرافیایی منطقه‌ی مورد مطالعه

پارامترهای به کار گرفته شده در روش دراستیک براساس اهمیت آن‌ها در انتقال آلودگی به آبخوان وزن‌دهی می‌شوند. هر پارامتر با توجه به معیارهای خاص به چند رده تقسیم‌بندی می‌شود. سپس با توجه به اهمیت هر رده در خصوص انتقال آلودگی به آبخوان، رتبه‌بندی می‌شوند. مراحل تهیه مدل دراستیک را می‌توان به صورت زیر خلاصه نمود:



تصویر ۲- موقعیت چاههای مشاهده‌ای در منطقه‌ی مورد مطالعه

۱- تهیه اطلاعات مربوط به پارامترهای ۷ گانه

۲- رده‌بندی پارامترها

۳- رتبه‌بندی

۴- وزن‌دهی

۵- محاسبه شاخص دراستیک برای هر پارامتر با ضرب کردن وزن هر پارامتر در رتبه‌ی آن

۶- جمع شاخص‌های مربوط به پارامترهای ۷ گانه و محاسبه شاخص کلی دراستیک

۴-۶- تأثیر بخش غیر اشبع (I)

برای محاسبه‌ی نقشه‌ی امتیاز مربوط به بخش غیر اشبع از لاغ حفاری مربوط به چاههای مشاهده‌ای استفاده گردید. تصویر ۳، نقشه‌ی امتیاز مربوط به این فاکتور را نشان می‌دهد.

۴-۷- ضریب هدایت هیدرولیکی (C)

در محدوده‌ی مورد مطالعه ۱۰ آزمایش پمپاژ جهت محاسبه‌ی ضریب هدایت هیدرولیکی انجام گرفته است. با توجه به نتایج بدست آمده از این ۱۰ آزمایش و همچنین در نظر گرفتن نتایج مربوط به نتایج حاصل از واسنجی مدل آب‌های زیرزمینی، پراکندگی ضریب هدایت هیدرولیکی در محدوده محاسبه و براساس آن نقشه‌ی امتیاز این فاکتور تهیه گردید (تصویر ۳).

بعد از تهیه نقشه‌های مربوط به ۷ فاکتور اشاره شده در بالا، با استفاده از نرمافزار ArcView کلیه نقشه‌ها با یکدیگر تلفیق و نقشه‌ی آسیب‌پذیری محدوده مورد مطالعه تهیه گردید (تصویر ۳).

۴- آنالیز حساسیت

آنالیز حساسیت اطلاعات ارزشمندی در ارتباط با اثرات مقادیر رتبه‌بندی (Rating Value) و وزن اختصاص داده شده برای هر پارامتر ارائه می‌دهد (Al-Adamat et al. 2003). جهت افزایش اطمینان به داده‌های ارائه شده توسعه روش‌های تعیین آسیب‌پذیری آبخوان، آن‌ها نیاز به تصدیق دارند -Ramos-Leat & Rodriguez-Castillo 2003)

رودخانه‌ی دائمی وجود ندارد. بنابراین روان‌آب‌های سطحی به صورت سیلان در منطقه دیده می‌شوند. در محاسبات مربوطه، تعذیبی ناشی از سیلان‌ها در بستر رودخانه‌های موقع و همچنین در منطقه‌ای که سیلان پخش می‌گیرد، در نظر گرفته شده است. همچنین نفوذ ناشی از آب مورد استفاده از کشاورزی نیز با مشخص نمودن مناطق مورد استفاده برای کشاورزی و محاسبه‌ی آب مورد استفاده برای کشاورزی محاسبه گردید. در تصویر ۳ نقشه‌ی امتیاز تعذیبی کل آورده شده است.

۴-۸- مواد آبخوان (A)

مواد آبخوان با توجه به لاغ حفاری مربوط به گمانه‌های اکتشافی منطقه، لاغ‌های ژئوفیزیک و لاغ چاههای مشاهده‌ای تهیه گردید. در تصویر ۳ امتیاز مواد آبخوان نشان داده شده است.

۴-۹- لایه‌فک (S)

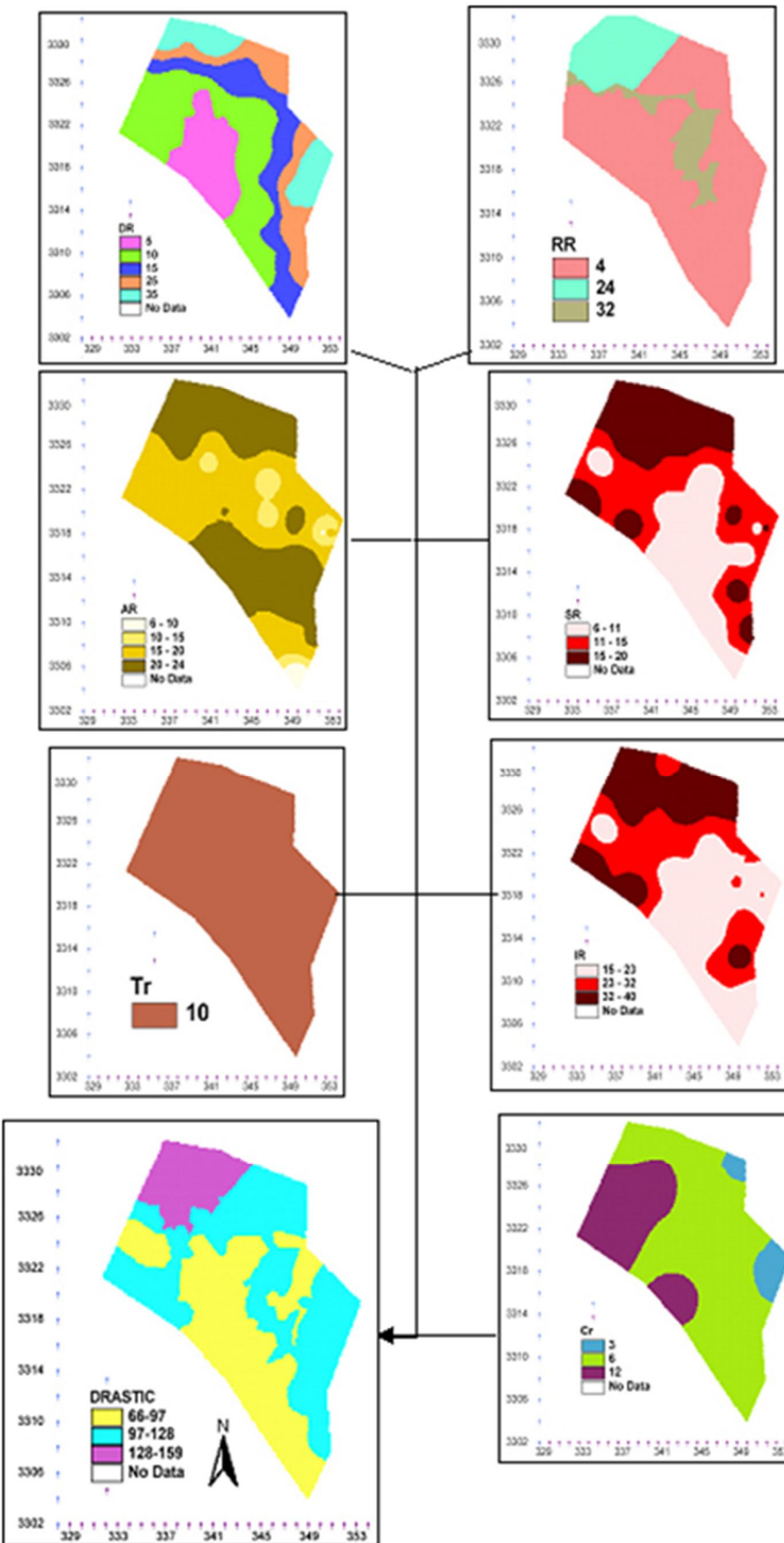
جنس لایه‌خاک با کمک از لاغ حفاری چاههای مشاهده‌ای تهیه شده است. تصویر ۳، نقشه‌ی امتیاز مربوط به جنس لایه‌خاک را نشان می‌دهد.

۴-۱۰- توپوگرافی (T)

نقشه‌ی توپوگرافی منطقه تهیه و سپس با استفاده از نرمافزار آرکویو (Arc View) درصد شیب در بخش‌های مختلف محاسبه و با استفاده از آن نقشه‌ی امتیاز توپوگرافی تهیه گردید. تصویر ۳ نقشه‌ی امتیاز مربوط به شیب را نشان می‌دهد.

جدول ۱- وزن و رتبه مربوط به پارامترهای ۷ گانه (Aller et al. 1987)

عمق آب زیرزمینی به متر		تعذیب کل بر حسب میلیمتر بر سال		جنس آبخوان		جنس لایه خاک		توپوگرافی (درصد)		تأثیر لایه‌ی غیر اشبع		ضریب هدایت هیدرولیکی (متر بر روز)	
دامنه	ضریب	دامنه	ضریب	دامنه	ضریب	دامنه	ضریب	دامنه	ضریب	دامنه	ضریب	دامنه	ضریب
0-1.5	10	0-50.8	1	شیل ضخیم	2	نازک یا عدم وجود	10	0-2	10	لایه‌های محبوس	1	0.04-4.1	1
1.5-4.6	9	50.8-101.6	3	دگ‌گونی آذرین	3	گراول	10	2-6	9	رس اسپلت	3	4.1-12.3	2
4.6-9.1	7	101.6-177.8	6	دگ‌گونی آذرین هوازده	4	ماسه	9	6-12	5	شیل	3	12.3-28.7	4
9.1-15.2	5	177.8-254	8	تبل‌های پیچالی	5	پیت	8	12-18	3	سنگ آهک	3	28.7-41	6
15.2-22.8	3	>254	9	ماسه سنگ، سنگ آهک لایه‌بندی شده	6	رس ترک خورده	7	>18	1	ماسه سنگ	6	41-82	8
22.8-30.4	2			ماسه سنگ ضخیم	6	ماسه لومی	6			ماسه سنگ، سنگ آهک لایه‌ای	6	>82	10
>30.4	1			سنگ آهک ضخیم	8	لوم	5			ماسه و گراول	6		
				ماسه و گراول	8	سیلت لومی	4			ماسه و گراول	8		
				بازالت	9	رس لومی	3			بازالت	9		
				سنگ آهک کارستی	10	ماک	2			سنگ آهک کارستی	10		
						نبود رس ترک خورده	1						



تصویر ۳- نقشه‌های مختلف و نقشه شاخص دراستیک در محدوده مطالعه: DR: نقشه‌ی امتیاز عمق، RR: نقشه‌ی امتیاز تغذیه‌ی کل، AR: نقشه‌ی امتیاز تغذیه‌ی کل، SR: نقشه‌ی امتیاز جنس آبخوان، TR: نقشه‌ی امتیاز جنس لایه‌خاک، IR: نقشه‌ی امتیاز توپوگرافی، CR: نقشه‌ی امتیاز اثر بخش غیر اشبع و ضریب هدایت هیدرولیکی

جدول ۳ پارامترهای آماری مربوط به شاخص تغییرپذیری ناشی از خارج نمودن تک تک پارامترهای دراستیک می‌باشد. شاخص دراستیک برای هر پارامتر دراستیک، نشان‌دهنده‌ی تأثیر حذف هر پارامتر می‌باشد. مقادیر مثبت نشان می‌دهند با حذف پارامتر مربوطه، شاخص دراستیک کاهش یافته است. از آنجایی که تمامی مقادیر محاسبه شده در این تحقیق مثبت می‌باشند، حذف هر کدام از پارامترهای ۷ گانه منجر به کاهش شاخص دراستیک می‌شود. بر اساس نتایج، بیشترین تأثیر مربوط به پارامتر I و بعد از آن مربوط به پارامتر A می‌شود. و کمترین تأثیر نیز مربوط به پارامتر C می‌شود.

جدول ۳- پارامترهای آماری مربوط به شاخص تغییرپذیری ناشی از خارج نمودن پارامترهای دراستیک

انحراف از استاندارد	متوسط	حداکثر	حداقل	لایه خارج شده
۰/۰۴	۰/۲۷	۰/۳۹	۰/۱۵	تأثیر لایه غیر اشباع
۰/۰۴	۰/۲۰	۰/۲۹	۰/۰۹	لایه جنس آبخوان
۰/۰۷	۰/۱۴	۰/۳۷	۰/۰۴	عمق آب زیرزمینی
۰/۰۲	۰/۱۳	۰/۱۸	۰/۰۸	جنس خاک
۰/۰۲	۰/۱۰	۰/۱۵	۰/۰۶	توپوگرافی
۰/۰۸	۰/۰۹	۰/۳۴	۰/۰۳	توپوگرافی
۰/۰۳	۰/۰۴	۰/۱۶	۰/۰۲	ضریب هدایت هیدرولیکی

۴- نتیجه‌گیری

آبخوان مورد نظر به دلیل کیفیت بالا، یکی از منابع مهم آب در منطقه به شمار می‌رود. جهت تهیه نقشه‌ی آسیب‌پذیری آبخوان مورد نظر، از مدل دراستیک و سامانه‌ی اطلاعات جغرافیایی استفاده گردید. براساس نقشه‌ی آسیب‌پذیری سه منطقه با آسیب‌پذیری کم، متوسط و بالا مشخص گردید. براساس نتایج ۸/۵۴ درصد از منطقه دارای آسیب‌پذیری بالا، ۶۳/۵۵ درصد آسیب‌پذیری متوسط و ۲۷/۹۱ درصد از منطقه دارای آسیب‌پذیری کم می‌باشد. مناطق با آسیب‌پذیری کم در جنوب دشت در جایی که به دلیل حمل مواد دانه‌ریز توپوگرافی سیلانها، لایه‌خاک از مواد دانه‌ریز تشکیل شده است قرار گرفته است. منطقه با آسیب‌پذیری بالا در جایی قرار دارد، که مواد دانه‌درشت لایه‌ی سطحی خاک را تشکیل می‌دهند. همچنین به دلیل عبور رودخانه‌های فصلی از این بخش، احتمال نفوذ سیلانها به آبخوان وجود دارد. منطقه‌ی متوسط نیز بین این دو زون قرار گرفته است. با توجه به این که منطقه با آسیب‌پذیری بالا در بالادست جریان آب زیرزمینی قرار گرفته است، توجه به این امر بسیار مهم می‌باشد. در صورتی که آلودگی وارد این بخش از آبخوان شود، احتمال انتقال آن به پایین‌دست و آلودگی کل آبخوان وجود دارد. از آنجایی که کارخانه‌ی

به منظور محاسبه‌ی حساسیت، ابتدا شاخص دراستیک با تلفیق هر ۷ پارامتر محاسبه گردید. در مرحله‌ی دوم شاخص دراستیک با در نظر گرفتن شش پارامتر محاسبه گردید. این روش را می‌توان به صورت زیر نمایش داد:

$$Si = \left| \frac{DNi}{N} - \frac{Dxi}{n} \right| \quad (1)$$

در اینجا: Si برابر با حساسیت در سلول آم، DNi برابر با شاخص دراستیک محاسبه شده با در نظر گرفتن هفت پارامتر در سلول نم، N تعداد کل پارامترهای در نظر گرفته شده جهت محاسبه‌ی شاخص دراستیک در سلول آم، Dxi برابر با شاخص دراستیک در سلول نم با حذف پارامتر xi و n برابر با تعداد پارامترهای مورد استفاده در آنالیز حساسیت می‌باشد.

علاوه بر محاسبه‌ی میزان حساسیت، شاخص تغییرپذیری نیز طبق تعریف ارائه شده توپوگرافی و دیسارتگوس در سال ۲۰۰۰ محاسبه گردید (Gogu & Dassargues 2000). در تعریف ارائه شده، شاخص تغییرپذیری به صورت زیر محاسبه می‌گردد:

$$VXi = \frac{DNi - Dxi}{DNi} \quad (2)$$

در اینجا: VXi برابر با شاخص تغییرپذیری بوده و بقیه‌ی علائم مانند قبیل می‌باشد.

جدول ۲ پارامترهای آماری مربوط به آنالیز حساسیت ناشی از خارج نمودن یک پارامتر را نشان می‌دهد. همان‌طور که از جدول پیداست بیشترین حساسیت مربوط به پارامتر I می‌شود. بعد از I تغذیه‌ی کل (R) بیشترین حساسیت را دارا می‌باشد. کمترین حساسیت مربوط به جنس لایه‌خاک می‌باشد.

جدول ۲- پارامترهای آماری مربوط به آنالیز حساسیت خارج نمودن یک پارامتر

انحراف از استاندارد	متوسط	حداکثر	حداقل	لایه خارج شده
۱/۹	۲/۲۵	۴/۲	۰/۰۸	تأثیر لایه غیر اشباع
۱/۴	۱/۶۹	۳/۱	۰/۲۲	تغذیه کل
۱/۳۵	۱/۴	۲/۷۸	۰/۰۰	ضریب هدایت هیدرولیکی
۱/۵۹	۱/۳۰	۳/۵۹	۰/۰۰	عمق آب زیرزمینی
۰/۹۸	۱/۰۱	۲/۰۵	۰/۰۰	جنس آبخوان
۱/۰۰	۰/۹۴	۲/۱۲	۰/۰۰	توپوگرافی
۰/۴۸	۰/۴۱	۱/۲۶	۰/۰۰	جنس خاک

Plymale, C. L. & Angle, M. P., 2002, "Groundwater pollution potential of Fulton County, Ohio", *Ohio Department of Natural resources division of water, water resources section, Groundwater pollution potential report no.45.*

Ramos-Leal, J. A., Rodríguez-Castillo, R., 2003, "Aquifer vulnerability mapping in the Turbio river valley, Mexico; A validation study", *Geofísica Internacional, Vol. 42 (1): 141-156.*

Shahid, S. & Hazarika, M. K., 2007, "Geographic Information System for the Evaluation of Groundwater Pollution Vulnerability of the Northwestern Barind Tract of Bangladesh", *Environmental Research Journal, Vol. 1(1-4): 27-34.*

Todd, D. K., 1980, "Groundwater Hydrology", 2nd edition, John Wiley, New York, 535 pp.

ذوب مس خاتونآباد و همچنین کارخانه‌ی مولیبدن در این بخش از دشت قرار گرفته است، توجه به مسائل زیست محیطی از اهمیت خاصی برخوردار می‌باشد.

مراجع

Al-Adamat, R. A. N., Foster I. D. L. & Baban, S. M. J., 2003, "Groundwater vulnerability and risk mapping for the Basaltic aquifer of the Azraq basin of Jordan using GIS, Remote sensing and DRASTIC", *Journal of Applied Geography, Vol. 23 (4): 303-324.*

Aller, L., Bennett, T., Lehr, J. H., Petty, R. J. & Hackett, G., 1987, "DRASTIC: A standardized system for evaluating ground water pollution potential using hydrogeologic settings", *EPA/600/2.87/035, US Environmental Protection Agency, Robert S Kerr Environmental Research Laboratory, Ada, Oklahoma 74820, USA.*

Babiker, I. S., Mohamed, M. A. A., Hiyama, T. & Kato, K., 2005, "A GIS-based DRASTIC model for assessing aquifer Vulnerability in Kakamigahara Heights, Gifu Prefecture, central Japan". *Science of the Total Environment, Vol. 345: 127-140.*

Connell, L. D. & Van den Daele, G., 2003, "A quantitative approach to aquifer vulnerability mapping", *Journal of Hydrology, Vol. 276(1-4): 71-88.*

El-Naqa, A., Hammouri, N. & Kioso, M., 2006, "GIS-based evaluation of groundwater vulnerability in the Russeifa area", *Jordan: Revista Mexicana de Ciencias Geológicas, Vol. 23(3), 277–287*

Fetter, C. W., 1994, "Applied hydrogeology", 3rd Edition. Macmillan College Publishing Company, New York, 691 pp.

Gogu, R. C. & Dassargues, A., 2000, "Sensitivity Analysis for the EPIK Method of Vulnerability Assessment in a Small Karstic Aquifer, Southern Belgium", *Hydrogeology Journal, Vol. 8(3): 337-345.*

Johansson, P. O., Scharp, C., Alveteq, T. & Choza, A., 1999, "Framework for Ground Water Protection - the Managua Ground Water System as an Example", *Ground Water, Vol. 37(2): 204-213.*

Kabera, T. & Zhaojun L., 2008, "A GIS Based DRASTIC Model for Assessing Groundwater in Shallow Aquifer in Yuncheng Basin, Shanxi, China", *Research Journal of Applied Sciences, Vol. 3(3): 195-205.*

Lynch, S. D., Reynders, A. G. & Schulze, R. E., 1997, "A DRASTIC approach to groundwater vulnerability in South Africa" *South African Journal of Science, Vol. 93(2): 59–60.*